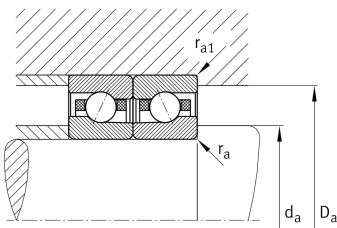
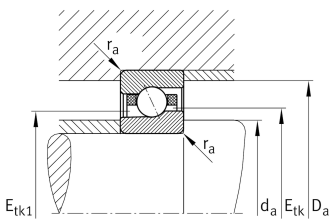


**FAG****VCM71926-E-T-P4S-UL-XL**

Rodamiento a bolas de contacto angular

High speed spindle bearing VCM719...-E, adjusted, in pairs or sets, contact angle  $\alpha = 25^\circ$ , with ceramic balls, rings made from Vacrodur, restricted tolerances

## Información técnica



## Variante de su producto actual

|                                      |     |   |
|--------------------------------------|-----|---|
| Ángulo de contacto                   | E   | Ángulo de contacto de 25°                                   |
| Obturaciones                         | Sin | Sin   |
| Jaula                                | T   | Jaula de tejido duro  |
| Clase de tolerancia                  | P4S | Tolerance class P4S, FAG standard better than P4 to DIN 620 |
| Disposición del grupo de rodamientos | U   | Rodamiento único  |
| Precarga                             | L   | Preload light   |

## Medidas principales y datos de rendimiento

|                          |              |  |
|--------------------------|--------------|--|
| d                        | 130 mm       | Diámetro del agujero                                     |
| D                        | 180 mm       | Diámetro exterior  |
| B                        | 24 mm        | Anchura  |
| C <sub>r</sub>           | 117.000 N    | Capacidad de carga dinámica, radial                      |
| C <sub>0r</sub>          | 48.000 N     | Capacidad de carga estática, radial                      |
| C <sub>ur</sub>          | 1.970 N      | Límite de carga por fatiga, radial                       |
| n <sub>G</sub><br>Grease | 13.000 1/min | Limiting speed for grease lubrication                    |
| n <sub>G</sub> Oil       | 19.000 1/min | Velocidad límite de rotación para lubricación con aceite |
| ≈m                       | 1,43 kg      | Peso   |



### Medidas de montaje

|                       |          |  |
|-----------------------|----------|--|
| $d_a$                 | 139 mm   | Diámetro del resalte del eje                         |
| $d_a$                 | H12      | Diámetro juego del resalte del eje                   |
| $D_a$                 | 171 mm   | Diámetro del resalte del anillo exterior             |
| $D_a$                 | H12      | Diámetro del resalte juego del anillo exterior       |
| $r_a \text{ max}$     | 0,6 mm   | Radio máximo de la ranura                            |
| $r_{a1} \text{ max}$  | 0,6 mm   | Radio máximo de la ranura                            |
| $E_{tk} \text{ min}$  | 147,4 mm | Minimum diameter injection pitch                     |
| $E_{tk} \text{ max}$  | 151,3 mm | Maximum diameter injection pitch                     |
| $E_{tk1} \text{ min}$ | 142,6 mm | Diámetro mínimo distancia de inyección               |
| $E_{tk1} \text{ max}$ | 151,3 mm | Diámetro máximo distancia de inyección               |
| $a$                   | 48,1 mm  | Distancia entre los vértices de los conos de presión |

### Medidas

|                   |        |                             |
|-------------------|--------|-----------------------------|
| $r_{\text{min}}$  | 1,5 mm | Minimum chamfer dimension   |
| $r_1 \text{ min}$ | 1 mm   | Medidas mínimas del chaflán |
| $\alpha$          | 25 °   | Contact angle               |

### Rango de temperatura

|                  |        |                                    |
|------------------|--------|------------------------------------|
| $T_{\text{min}}$ | -30 °C | Temperatura mín. de funcionamiento |
| $T_{\text{max}}$ | 100 °C | Temperatura máx. de funcionamiento |



### Información adicional

|           |                |                            |
|-----------|----------------|----------------------------|
| $F_{VL}$  | 360 N          | Fuerza de precarga ligera  |
| $F_{VM}$  | 943 N          | Fuerza de precarga media   |
| $F_{VH}$  | 1.959 N        | Fuerza de precarga pesada  |
| $K_{aEL}$ | 1.031 N        | Fuerza de elevación ligera |
| $K_{aEM}$ | 2.723 N        | Fuerza de elevación media  |
| $K_{aEH}$ | 5.728 N        | Fuerza de elevación grande |
| $c_{aL}$  | 230 N/ $\mu$ m | Ligera rigidez axial       |
| $c_{aM}$  | 323 N/ $\mu$ m | Rigidez axial media        |
| $c_{aH}$  | 421 N/ $\mu$ m | Rigidez axial grande       |

### Características

-  Carga radial
-  Carga axial en un sentido
-  Lubricación con grasa
-  Lubricación con aceite
-  No obturado